

# PÓLUSÁTHELYEZÉS ÁLLAPOT-VISSZACSATOLÁSSAL

## Feltevés:

LTI:  $x_{i+1} = \Phi x_i + \Gamma u_i$ ,  $y_i = C x_i$  diszkrétidejű rendszer

$M_c = [\Gamma \ \Phi \Gamma \ \dots \ \Phi^{n-1} \Gamma]$  maximális rangú

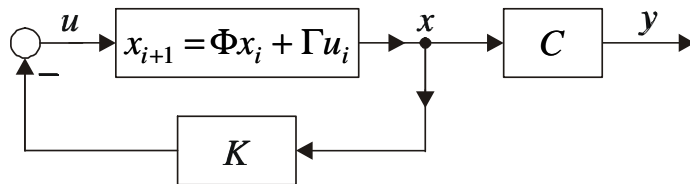
$M_o = [C^T \ \Phi^T C^T \ \dots \ (\Phi^T)^{n-1} C^T]^T$  maximális rangú

SISO esetben kvadratikus és nonsinguláris

MIMO esetben nemkvadratikus és maximális rangú

## Pólusáthelyezés:

Szabályozó:  $u_i = -K x_i$  állapot-visszacsatolás (ÁV)



ZRKE:  $\varphi_c(z) = \det(zI - (\Phi - \Gamma K))$

Feladat: szakasz KE gyökeket áthelyezni új helyekre  
 $K = ?$

## Algebrai hasonlóság:

$$\varphi_c(s) = \det(sI - (A - BK)) \leftrightarrow \varphi_c(z) = \det(zI - (\Phi - \Gamma K))$$

használható acker és place

## Ackermann-képlet (SISO):

$$K = (0 \ \dots \ 0 \ 1) M_c^{-1} \varphi_c(\Phi).$$

MIMO esetben: place függvény MATLAB+CST-ben

## ÁV meghatározás sémája:

$$(\Phi, \Gamma) \xrightarrow[M_c]{\varphi_c(z)} K$$

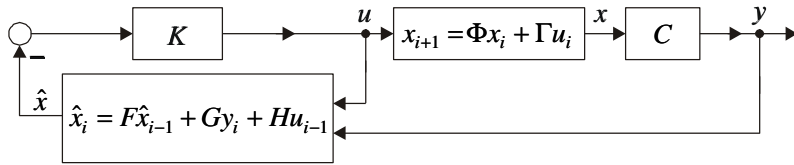
## ÁV REALIZÁLÁSA AKTUÁLIS MEGFIGYELŐVEL

**Feltevés:**  $(\Phi, C\Phi)$  megfigyelhető,

pl.  $\exists \Phi^{-1}$  és  $(\Phi, C)$  megfigyelhető

**Aktuális állapotmegfigyelő (ÁM) alakja:**

$$\hat{x}_i = F \hat{x}_{i-1} + G y_i + H u_{i-1}$$



Becslési hiba:  $\tilde{x}_i = x_i - \hat{x}_i$

Hiba aszimptotikusan csengjen le:  $\tilde{x}_i \rightarrow 0$

$$\tilde{x}_i = F(x_{i-1} - \hat{x}_{i-1}) + (\Gamma - GCF - H)u_{i-1} + (\Phi - GC\Phi - F)x_{i-1}$$

$$F = \Phi - GC\Phi,$$

$$H = \Gamma - GCF,$$

$$\tilde{x}_i = F \tilde{x}_{i-1} \text{ stabil és gyors.}$$

Megfigyelő KE:

$$\begin{aligned} \varphi_o(z) &= \det(zI - F) = \det(zI - (\Phi - GC\Phi)) = \\ &= \det(zI - (\Phi^T - \Phi^T C^T G^T)) \end{aligned}$$

**Dualitás ÁV és aktuális ÁM tervezés között:**

$$\begin{aligned} (\Phi, C)_I &\leftrightarrow (\Phi^T, \Phi^T C^T)_{II} \xrightarrow[M_{c,II}]{\varphi_o(z)} K_{II} \rightarrow G = K_{II}^T \\ F &= \Phi - GC\Phi, H = \Gamma - GCF \end{aligned}$$

Átalakítás:

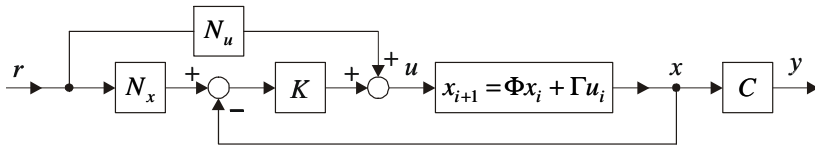
$$\begin{aligned} \hat{x}_i &= (\Phi - GC\Phi)\hat{x}_{i-1} + G y_i + (\Gamma - GCF)u_{i-1} = \\ &= \Phi \hat{x}_{i-1} + \Gamma u_{i-1} + G\{y_i - C(\Phi \hat{x}_{i-1} + \Gamma u_{i-1})\}. \end{aligned}$$

Real time megvalósítás:

$$\begin{aligned} \bar{x}_i &= \Phi \hat{x}_{i-1} + \Gamma u_{i-1} && \text{"time - update"} \\ \hat{x}_i &= \bar{x}_i + G(y_i - C \bar{x}_i) && \text{"measurement - update"} \end{aligned}$$

### Alapjel figyelembevétele diszkrét időben:

Cél:  $N_x r = x_\infty$ ,  $y_\infty = r$ ,  $u_\infty = N_u r$



Különbség a folytonos idejű esethez képest az állandósult állapot alakjában van, ugyanis állandósult állapotban diszkrét időben a régi és új állapot megegyezik.

$$N_x r = x_\infty \Rightarrow y_\infty = C x_\infty = C N_x r = r \Rightarrow C N_x = I_m,$$

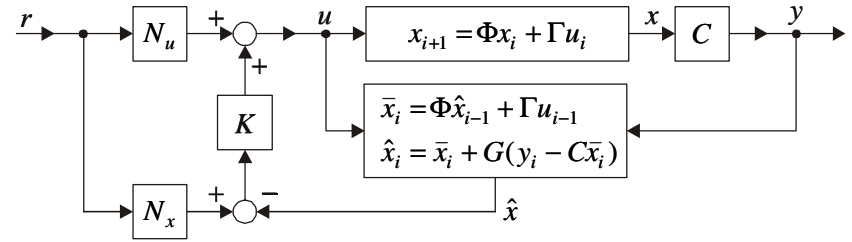
$$N_u r = u_\infty \Rightarrow x_\infty = \Phi x_\infty + \Gamma u_\infty \Rightarrow ((\Phi - I) N_x + \Gamma N_u) r = 0 \Rightarrow$$

$$(\Phi - I) N_x + \Gamma N_u = 0_{n \times m}$$

Megoldás:

$$\begin{bmatrix} \Phi - I & \Gamma \\ C & 0 \end{bmatrix} \begin{pmatrix} N_x \\ N_u \end{pmatrix} = \begin{pmatrix} 0_{n \times m} \\ I_m \end{pmatrix} \Rightarrow \begin{pmatrix} N_x \\ N_u \end{pmatrix} = \begin{bmatrix} \Phi - I & \Gamma \\ C & 0 \end{bmatrix}^{-1} \begin{pmatrix} 0_{n \times m} \\ I_m \end{pmatrix}.$$

### Állapot-visszacsatolás és aktuális állapotmegfigyelő valós idejű megvalósítása:



# INTEGRÁLÓ SZABÁLYOZÁS

**Integrátor elhelyezése a szabályozóban:**

$$x_I = \int y dt \Rightarrow x_{I,i+1} = x_{I,i} + T y_i \quad (\text{LSR}).$$

**Bővített állapotegyenlet:**  $\tilde{x} = (x^T, x_I^T)^T$

$$\begin{pmatrix} x_{i+1} \\ x_{I,i+1} \end{pmatrix} = \begin{bmatrix} \Phi & 0 \\ TC & I \end{bmatrix} \begin{pmatrix} x_i \\ x_{I,i} \end{pmatrix} + \begin{pmatrix} \Gamma \\ 0 \end{pmatrix} u_i \Rightarrow \tilde{x}_{i+1} = \tilde{\Phi} \tilde{x}_i + \tilde{\Gamma} u_i,$$

$$y_i = [C \quad 0] \begin{pmatrix} x_i \\ x_{I,i} \end{pmatrix} \Rightarrow y_i = \tilde{C} \tilde{x}_i.$$

**Állapot-visszacsatolás:**

$$u_i = -\tilde{K} \tilde{x}_i = -[K \quad K_I] \begin{pmatrix} x_i \\ x_{I,i} \end{pmatrix} = -K x_i - K_I x_{I,i},$$

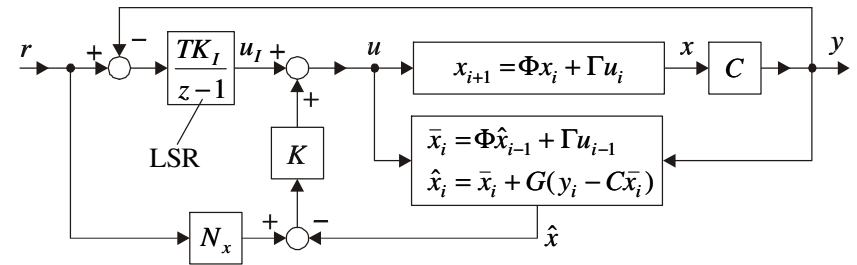
A bővített  $\tilde{x}$  állapotváltozóra kell előírni a zárt rendszer  $\tilde{\varphi}_c(z) = \det(zI - (\tilde{\Phi} - \tilde{\Gamma}\tilde{K}))$  karakterisztikus egyenletét, és az  $(\tilde{\Phi}, \tilde{\Gamma})$  párhoz tartozó  $\tilde{M}_c$  irányíthatósági mátrixnak kell maximális,  $\tilde{n} = \dim \tilde{x}$  rangúnak lennie.

**A megoldás sémája:**

$$(\tilde{\Phi}, \tilde{\Gamma}) \xrightarrow[\tilde{M}_c]{\tilde{\varphi}_c(z)} \tilde{K}.$$

**Realizáció:**

Felhasználjuk, hogy az integrátor állandósult állapotban nulla bemenet mellett is tud nemnulla kimenetet biztosítani, ezért  $N_u r$  hatását is realizálni tudja.



A tervezés lépései:

$$\begin{aligned} (\tilde{\Phi}, \tilde{\Gamma}, \tilde{C}) &\rightarrow \tilde{K} = [K \quad K_I] \quad (\text{ÁV}) \\ (\Phi, \Gamma, C) &\rightarrow (F, G, H) \quad (\text{ÁM}) \\ (\Phi, \Gamma, C) &\rightarrow (N_x, N_u) \end{aligned}$$

## TERHELÉSBECSLŐ

A zavarást a szakasz bemenetére redukálnak képzeljük (load change) és feltesszük, hogy konstans a zavarás:

$$d_{i+1} = d_i \Rightarrow x_{i+1} = \Phi x_i + \Gamma(u_i + d_i)$$

Bővítsük a rendszert az  $x_d = d$  állapotváltozóval, tehát legyen  $\tilde{x} = (x^T, x_d^T)^T$ , akkor a bővített rendszer állapot-egyenlete a következő lesz:

$$\begin{pmatrix} x_{i+1} \\ x_{d,i+1} \end{pmatrix} = \begin{bmatrix} \Phi & \Gamma \\ 0 & I \end{bmatrix} \begin{pmatrix} x_i \\ x_{d,i} \end{pmatrix} + \begin{bmatrix} \Gamma \\ 0 \end{bmatrix} u_i \Rightarrow \tilde{x}_{i+1} = \tilde{\Phi} \tilde{x}_i + \tilde{\Gamma} u_i,$$

$$y_i = \begin{bmatrix} C & 0 \end{bmatrix} \begin{pmatrix} x_i \\ x_{d,i} \end{pmatrix} = \tilde{C} \tilde{x}_i.$$

A bővített rendszer nem teljesen irányítható, mert az  $x_d$  alrendszer nem irányítható (a beérkező zavarást nem tudjuk befolyásolni).

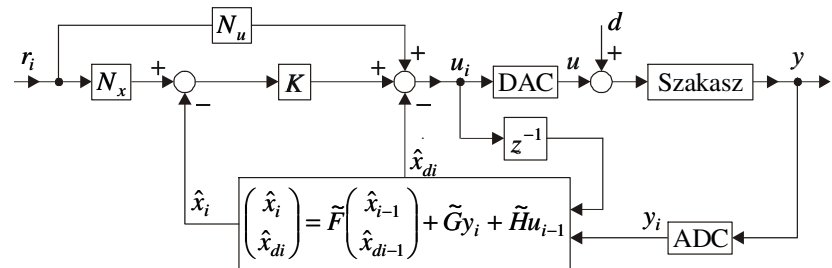
Ezért az állapot-visszacsatolást az eredeti  $(\Phi, \Gamma, C)$  rendszerhez kell megtervezni, az aktuális állapotmegfigyelőt viszont a bővített  $(\tilde{\Phi}, \tilde{\Gamma}, \tilde{C})$  rendszerhez.

Az alapjel figyelembevételéhez  $N_x$ ,  $N_u$  értékét szintén az eredeti rendszerhez kell meghatározni.

A tervezés lépései:

$$\begin{aligned} (\Phi, \Gamma, C) &\rightarrow K \quad (\text{ÁV}) \\ (\tilde{\Phi}, \tilde{\Gamma}, \tilde{C}) &\rightarrow (\tilde{F}, \tilde{G}, \tilde{H}) \quad (\text{ÁM}) \\ (\Phi, \Gamma, C) &\rightarrow (N_x, N_u) \end{aligned}$$

A szabályozási rendszer állapot-visszacsatolás, alapjel miatti korrekció és terhelésbecslés alkalmazása esetén a következő:



## PÉLDA ARÁNYOS SZABÁLYOZÁSRA ÁLLAPOTTÉRBE

**Szakasz átviteli függvénye:**

$$W(s) = \frac{1}{1+sT_1} \cdot \frac{1}{1+sT_2} \cdot \frac{A}{1+sT_3}$$

ahol  $A=5$ ,  $T_1=10$ ,  $T_2=4$ ,  $T_3=1$  (minden SI egységben értendő).

**Szakasz állapotegyenlete folytonos időben:**

$$\frac{d}{dt} \begin{pmatrix} x_1 \\ x_2 \\ x_3 \end{pmatrix} = \begin{bmatrix} -1/T_1 & 1/T_1 & 0 \\ 0 & -1/T_2 & 1/T_2 \\ 0 & 0 & -1/T_3 \end{bmatrix} \begin{pmatrix} x_1 \\ x_2 \\ x_3 \end{pmatrix} + \begin{pmatrix} 0 \\ 0 \\ A/T_3 \end{pmatrix} u,$$

$$y = (1 \quad 0 \quad 0) \begin{pmatrix} x_1 \\ x_2 \\ x_3 \end{pmatrix}$$

Numerikus alakban:

$$\frac{d}{dt} \begin{pmatrix} x_1 \\ x_2 \\ x_3 \end{pmatrix} = \begin{bmatrix} -0.1 & 0.1 & 0 \\ 0 & -0.25 & 0.25 \\ 0 & 0 & -1 \end{bmatrix} \begin{pmatrix} x_1 \\ x_2 \\ x_3 \end{pmatrix} + \begin{pmatrix} 0 \\ 0 \\ 5 \end{pmatrix} u$$

**Specifikációk:** A zárt rendszer domináns póluspárja számára  $\omega_0 = 5/T_{\text{sum}} = 0.3333$  csillapítatlan sajátfrekvenciát és  $\xi = 0.7$  csillapítást írunk elő. A zárt rendszer további pólusait  $s_3 = -1/T_3$  és  $s_4 = -|s_1| = -\omega_0$  szerint, a megfigyelő sajátértékeit pedig  $s_o = -5 * \max\{|s_i|\}$  értékűre választjuk. A mintavételi idő választott értéke  $T = 0.2 / \max\{|s_i|\}$ .

A nominális adatok alapján  $T = 0.2$ , a specifikációk pedig

$$\begin{aligned} s_1 &= -0.2333 + j0.2380 & z_1 &= 0.9533 + j0.0454 \\ s_3 &= -1 & z_3 &= 0.8187 \\ s_4 &= -0.3333 & z_4 &= 0.9355 \\ s_o &= -5 & z_o &= 0.3679 \end{aligned}$$

**Szakasz állapotegyenlete diszkrét időben:**

$$\begin{pmatrix} x_1 \\ x_2 \\ x_3 \end{pmatrix}_{i+1} = \begin{bmatrix} 0.9802 & 0.0193 & 0.0005 \\ 0 & 0.9512 & 0.0442 \\ 0 & 0 & 0.8187 \end{bmatrix} \begin{pmatrix} x_1 \\ x_2 \\ x_3 \end{pmatrix}_i + \begin{pmatrix} 0.0002 \\ 0.0230 \\ 0.9063 \end{pmatrix} u_i,$$

$$y_i = (1 \quad 0 \quad 0) \begin{pmatrix} x_1 \\ x_2 \\ x_3 \end{pmatrix}_i.$$

A zárt rendszer és a megfigyelő karakterisztikus egyenlete a fenti megfontolások alapján:

$$\varphi_c(z) = (z - z_1)(z - \tilde{z}_1)(z - z_3), \quad \varphi_o(z) = (z - z_o)^3.$$

A szabályozó szimbolikus alakban

$$\hat{x}_i = F \hat{x}_{i-1} + G y_i + H u_{i-1},$$

$$u_i = K(N_x r_i - \hat{x}_i) + N_u r_i = -K \hat{x}_i + (K N_x + N_u) r_i,$$

A  $K$  állapot-visszacsatolást, az aktuális állapotmegfigyelő  $F$ ,  $G$ ,  $H$  komponenseit, az alapjel miatti  $N_x, N_u$  korrekciót az alapeset összefüggéseivel határoztuk meg:

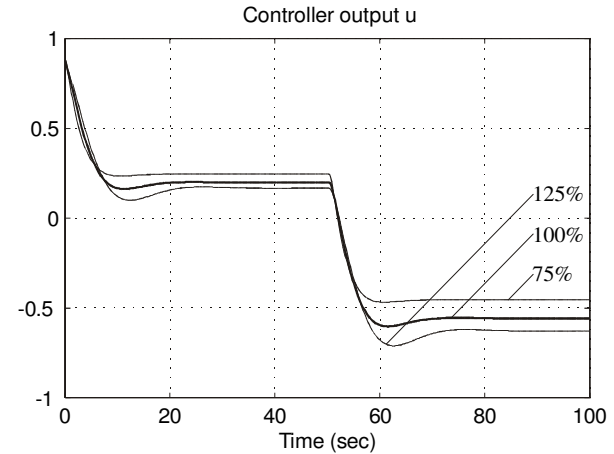
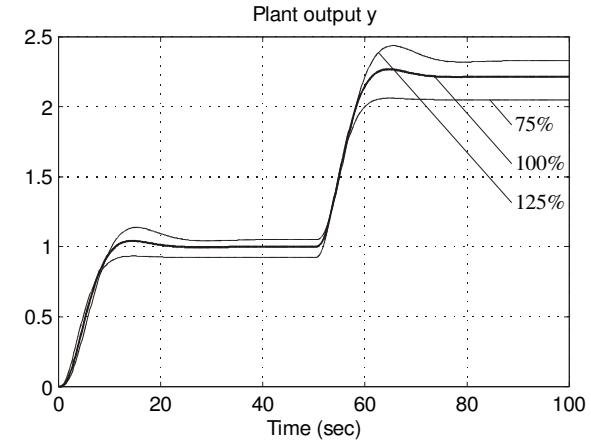
$$F = \begin{bmatrix} 0.0639 & 0.0013 & 0.0000 \\ -33.7841 & 0.2856 & 0.0284 \\ -138.4647 & -2.7282 & 0.7541 \end{bmatrix},$$

$$G = \begin{pmatrix} 0.9348 \\ 34.4666 \\ 141.2619 \end{pmatrix}, \quad H = \begin{pmatrix} 0.0000 \\ 0.0176 \\ 0.8843 \end{pmatrix},$$

$$K = (0.5244 \quad 0.1301 \quad 0.0239),$$

$$N_x = \begin{pmatrix} 1.0000 \\ 1.0000 \\ 1.0000 \end{pmatrix}, \quad N_u = 0.2000.$$

A tranziensek alapjelváltás és zavarójel kompenzálás esetén a következők:



# INTEGRÁLÓ SZABÁLYOZÁS

**Bővített állapotegyenlet:**

$$\begin{pmatrix} x_1 \\ x_2 \\ x_3 \\ x_I \end{pmatrix}_{i+1} = \begin{bmatrix} 0.9802 & 0.0193 & 0.0005 & 0 \\ 0 & 0.9512 & 0.0442 & 0 \\ 0 & 0 & 0.8187 & 0 \\ 0.2 & 0 & 0 & 1 \end{bmatrix} \begin{pmatrix} x_1 \\ x_2 \\ x_3 \\ x_I \end{pmatrix}_i + \begin{pmatrix} 0.0002 \\ 0.0230 \\ 0.9063 \\ 0 \end{pmatrix} u_i$$

**Zárt rendszer és megfigyelő KE:**

$$\varphi_c(z) = (z - z_1)(z - \tilde{z}_1)(z - z_3)(z - z_4),$$

$$\varphi_o(z) = (z - z_o)^3.$$

**Szabályozó:**

$$\hat{x}_i = F \hat{x}_{i-1} + G y_i + H u_{i-1},$$

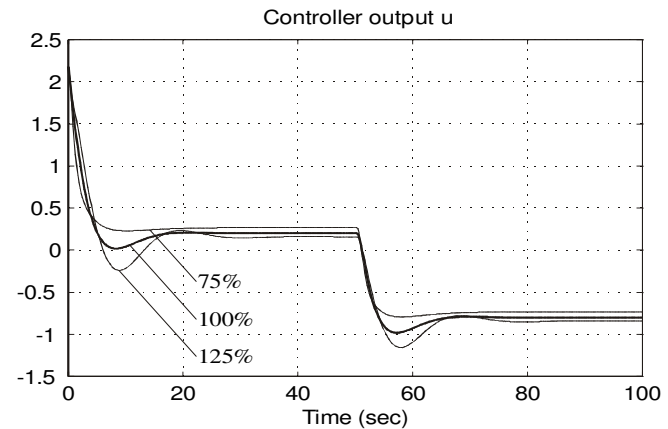
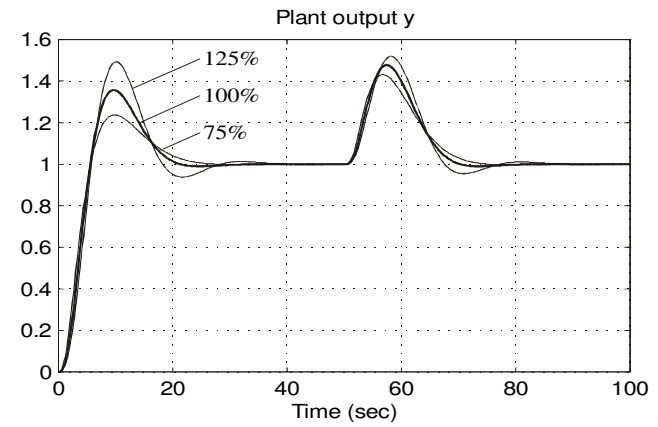
$$x_{I,i} = x_{I,i-1} + T(r_i - y_i),$$

$$u_i = K(N_x r_i - \hat{x}_i) + K_I x_{I,i}$$

**Állapot-visszacsatolás:**

$$K = (1.6776 \quad 0.4147 \quad 0.0877), \quad K_I = 0.2833$$

**Alapeset szerinti (lásd előző) értékű:  $F, G, H, N_x$**



**Lantos: Diszkrétidejű szabályozások tervezése állapottérben**



# SZABÁLYOZÁS TERHELÉSBECSLÉSSEL

**Zavarójellel bővített állapotegyenlet:**

$$\begin{pmatrix} x_1 \\ x_2 \\ x_3 \\ x_d \end{pmatrix}_{i+1} = \begin{bmatrix} 0.9802 & 0.0193 & 0.0005 & 0.0002 \\ 0 & 0.9512 & 0.0442 & 0.0230 \\ 0 & 0 & 0.8187 & 0.9063 \\ 0 & 0 & 0 & 1.0000 \end{bmatrix} \begin{pmatrix} x_1 \\ x_2 \\ x_3 \\ x_d \end{pmatrix}_i + \begin{pmatrix} 0.0002 \\ 0.0230 \\ 0.9063 \\ 0 \end{pmatrix} u_i, \quad y_i = x$$

**Zárt rendszer és megfigyelő KE:**

$$\varphi_c(z) = (z - z_1)(z - \tilde{z}_1)(z - z_3), \quad \varphi_o(z) = (z - z_o)^4.$$

**Szabályozó:**

$$\begin{pmatrix} \hat{x} \\ \hat{x}_d \end{pmatrix}_i = \tilde{F} \begin{pmatrix} \hat{x} \\ \hat{x}_d \end{pmatrix}_{i-1} + \tilde{G} y_i + \tilde{H} u_{i-1},$$

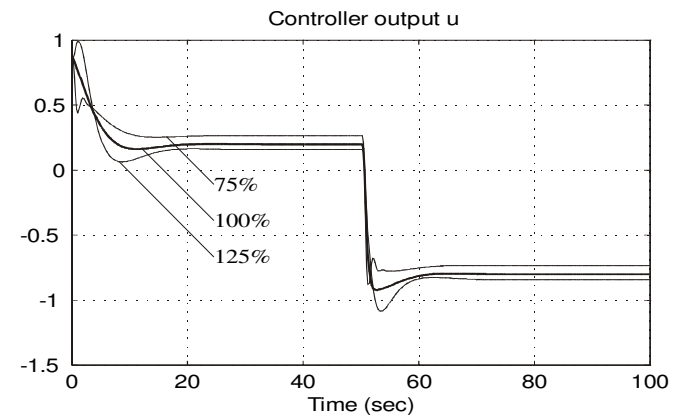
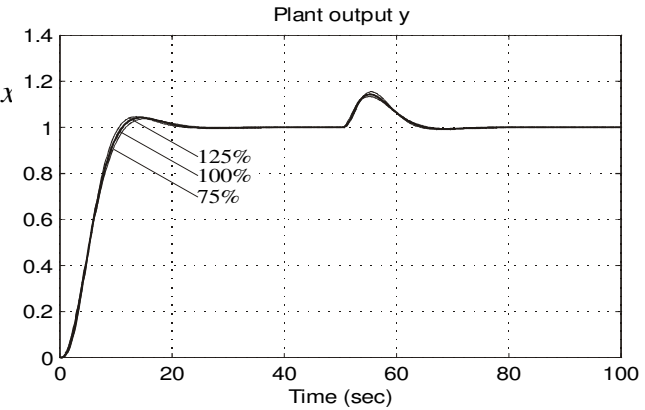
$$u_i = K(N_x r_i - \hat{x}_i) + N_u r_i - \hat{x}_{d,i} = -K \hat{x}_i + (K N_x + N_u) r_i - \hat{x}_{d,i},$$

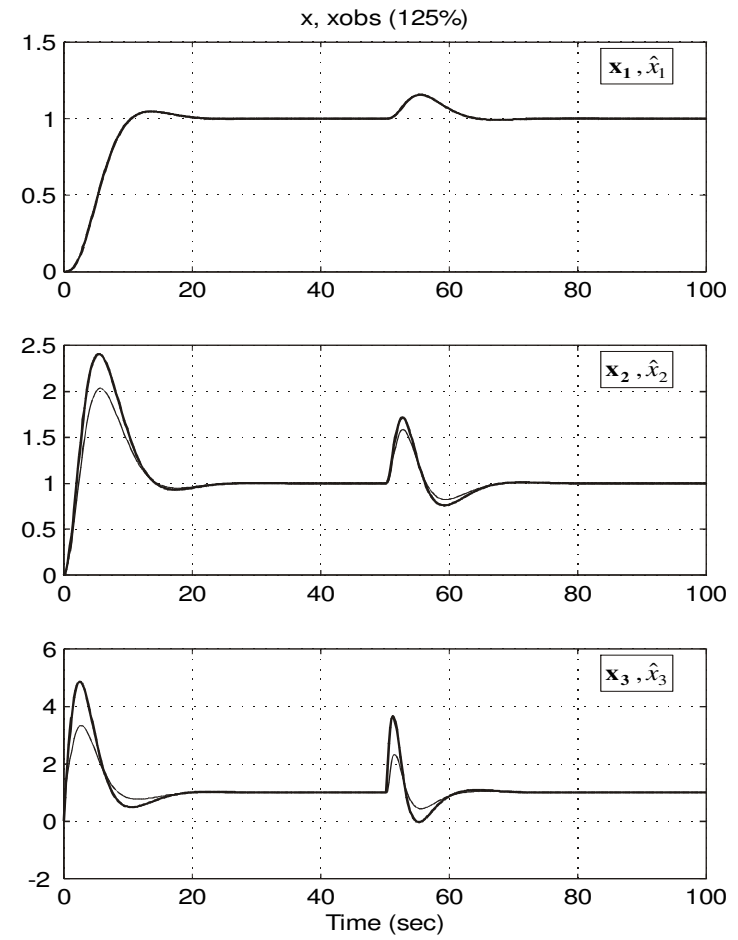
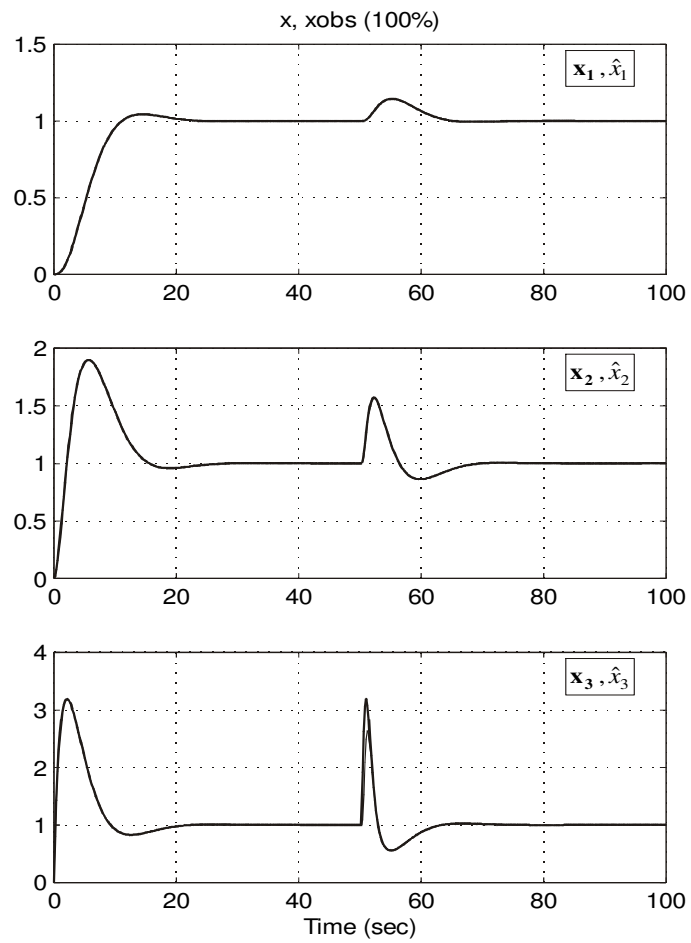
**Alapeset szerinti:**  $K, N_x, N_u$

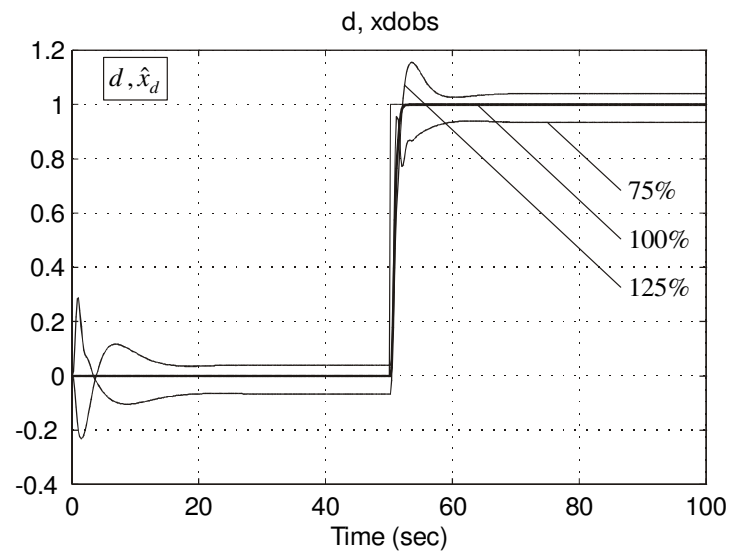
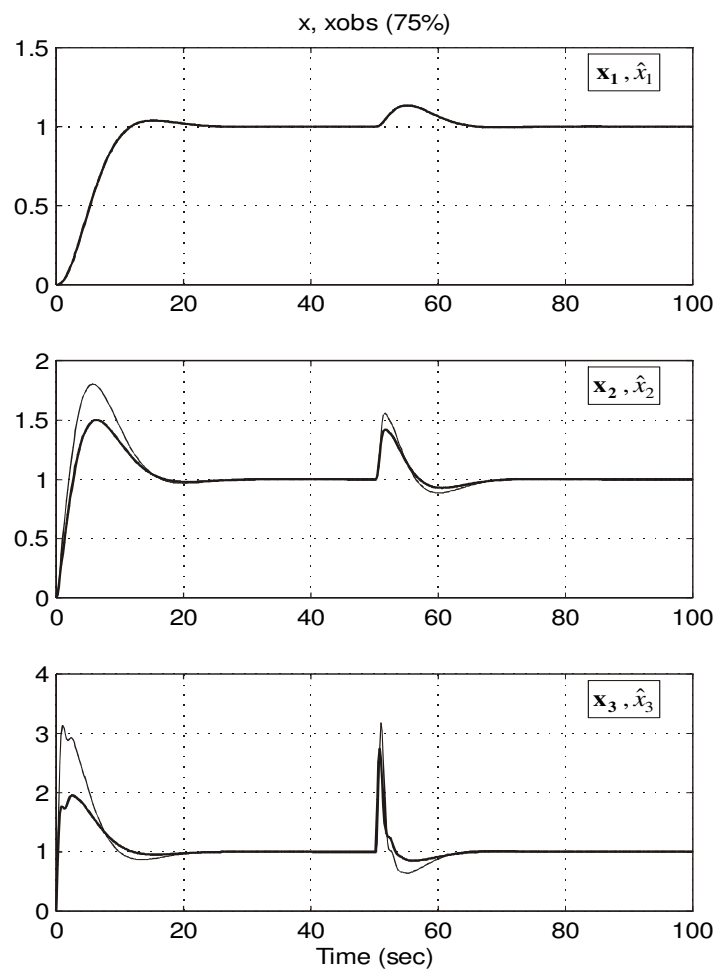
**Terhelésbecslő:**

$$\tilde{F} = \begin{bmatrix} 0.0235 & 0.0005 & 0.0000 & 0.0000 \\ -52.6367 & -0.0859 & 0.0196 & 0.0147 \\ -549.6117 & -10.8290 & 0.5623 & 0.8189 \\ -178.8000 & -3.5229 & -0.0834 & 0.9716 \end{bmatrix},$$

$$\tilde{G} = \begin{pmatrix} 0.9760 \\ 53.7001 \\ 560.7146 \\ 182.4120 \end{pmatrix}, \quad \tilde{H} = \begin{pmatrix} 0.0000 \\ 0.0147 \\ 0.8189 \\ -0.0284 \end{pmatrix}$$







A szabályozott jellemző alapjel ugrásra és zavaró jel ugrásra vonatkozó tranzienseiből megállapíthatjuk, hogy a dinamikus hiba kicsi lett, szemben a integráló szabályozás esetével, ahol a dinamikus hiba nagy volt. Különösen jelentős a javulás a zavaró jel alatt.

A maradó hiba mind zavarás, mind pedig paraméterváltozás esetén eltűnt. A szabályozott jellemző tranziense a vizsgált tartományban alig függ a szakasz paramétereinek értékétől. A rendszer  $\hat{x}_d$  értékével kompenzálja az erősítés megváltozását.